

تحلیل تنش دیرین در رسوب‌های افقی پلیوسن-کواترنری شمال باختر زنجان

محسن الیاسی^{۱*}، محمد محجّل^۲ و فاطمه مصباحی^۳

^۱ استادیار گروه مهندسی و تکتونیک، دانشکده زمین‌شناسی، پردیس علوم، دانشگاه تهران، ایران

^۲ استادیار گروه تکتونیک، دانشکده علوم پایه، دانشگاه تربیت مدرس، تهران، ایران

^۳ دانشجوی کارشناسی ارشد گروه تکتونیک، دانشگاه تربیت مدرس، تهران، ایران

(دریافت: ۸۶/۳/۲۳، پذیرش نهایی: ۸۶/۱۰/۲۵)

چکیده

گسلش عادی روی رسوب‌های بدون چین‌خوردگی پلیوسن-کواترنری در شمال غرب زنجان با روش‌های جستجوی شبکه‌ای، روش وارون‌سازی به همراه تحلیل محورهای کشش و فشار، آرایش خش لغزش و وارون‌سازی چندمرحله‌ای مورد بررسی دقیق قرار گرفت. نتایج روش‌های مذبور از دیدگاه تحلیل تنش دیرین در منطقه مورد بررسی، به کار برده شد. نتایج بدست آمده از آن روش‌ها با تعیین زاویه نابرازش حدود ۱/۳۴ درجه متفاوت با محاسبه تناسور تنش تقیلی یافته شد. تحلیل منطقه مورد بررسی روش ساخت که موقعیت بزرگ‌ترین تنش تراکمی اصلی قائم و کوچک‌ترین تنش تراکمی اصلی افقی است (با روند جنوب جنوب شرق). شکل هندسی بیضوی تنش دیرین به صورت دوکی شکل با $\Phi = 0$ برآورد شد. زاویه اصطکاک داخلی توده‌ستگ حدود ۳۰ درجه محاسبه شد. این مقدار با رسم دایره موهر سه محوری بدون مقیاس، نشان‌دهنده چیره بودن فعالیت گسل‌های مزدوج در منطقه است.

واژه‌های کلیدی: تناسور تنش دیرین، گسل عادی، زنجان، گسل‌های مزدوج

Paleostress analysis of horizontal Plio-Quaternary deposits in the NW of Zanjan

Eliassi, M¹., Mohajjal, M². and Mesbahi, F³.

¹Assistant professor, Department of Engineering Geology and Tectonics, School of Geology, College of Science, University of Tehran, Iran

²Assistant professor, Tectonics Group, Department of Geology, Faculty of Basic Sciences, Tarbiat Modarres University, Tehran, Iran

³M.Sc. student of Tectonics Group, Department of Geology, Faculty of Basic Sciences, Tarbiat Modarres University, Tehran, Iran

(Received: 13 Jun 2007, Accepted: 15 Jan 2008)

Abstract

For paleostress analysis of non-folded flat lying Pliocene-quaternary sediments in the NW of Zanjan (NW of Iran), 72 faults bearing slickenside liniations were measured. Among the measured faults, some 36 faults which show the best quality structurally and statistically were selected for analysis. All the faults showed their strike towards NE-SW and dip direction towards SE-NW. The rake of slip vector was nearly 90 degrees, which represents no strike slip components. Gypsum fibers, fault steps on the fault plane, and extensional fractures around the faults were the most important evidence for determination of fault mechanism. Accordingly, normal fault mechanism was

distinguished, showing the dominant tensional paleostress regime dynamically active in the study area.

Different methods for calculation of reduced paleostress tensor including Grid Search, Inversion Methods along with P-T Axis Analysis, Slip Linear Configuration, and Multiple Inverse Method were used. All the applied methods represent approximately the same results. Calculations of reduced stress tensors demonstrate the orientation of the greatest and the least compressional principal stress axis to be vertical and horizontal respectively. The geometrical shape of the stress ellipsoid proved to be prolate and the shape factor around zero ($\phi = 0.0$).

The internal angle of friction of the rock mass was calculated 30 degrees on the basis of R% statistically. This value was then checked out by the conjugate fault systems in the field.

All the processed data are illustrated on a 3-D unscaled Mohr diagram, showing the pole of the data distribute just on the greatest circle. Such a pattern demonstrates the dominance of the conjugate fault system activity in the study area.

Multiple Inverse Method was employed for determination of stress phases. The results occupied one unique concentrated cluster in the 4-D space, composed of orientation of the three principal stress axes and the shape factor. It was concluded that only one geometrical paleostress phase has been active in the study area.

Key words: Paleostress tensor, Normal fault, Zanjan, Conjugate faults

۱ مقدمه

میانه) نمایان می‌سازند (شکل ۲).

۲ ساختارهای چیره در منطقه

تنها ساختارهای مشاهده شده در رسوب‌های افقی جوان منطقه مورد بررسی تعداد زیادی ساختار گسلش نرمال در مقیاس مزوسکوپی، با جابه‌جایی در مقیاس متر است. جابه‌جایی نرمال گسل‌ها از روی جابه‌جایی لایه‌ها کاملاً مشهود است (شکل ۲). همچنین در اکثر صفحات گسلی، بلورهای ژیپس به صورت جهت‌یافته رشد کرده‌اند که جهت‌یافگی رشد این بلورها کاملاً منطبق با حرکت نرمال گسل است (شکل ۳-الف). خطوط خشن‌لغزش اندازه‌گیری شده در سطوح گسلی خشن‌دار حاکی از حرکت شیب‌لغز نرمال بدون مؤلفه راستالغز برای این سطوح گسلی است (شکل ۳-ب).

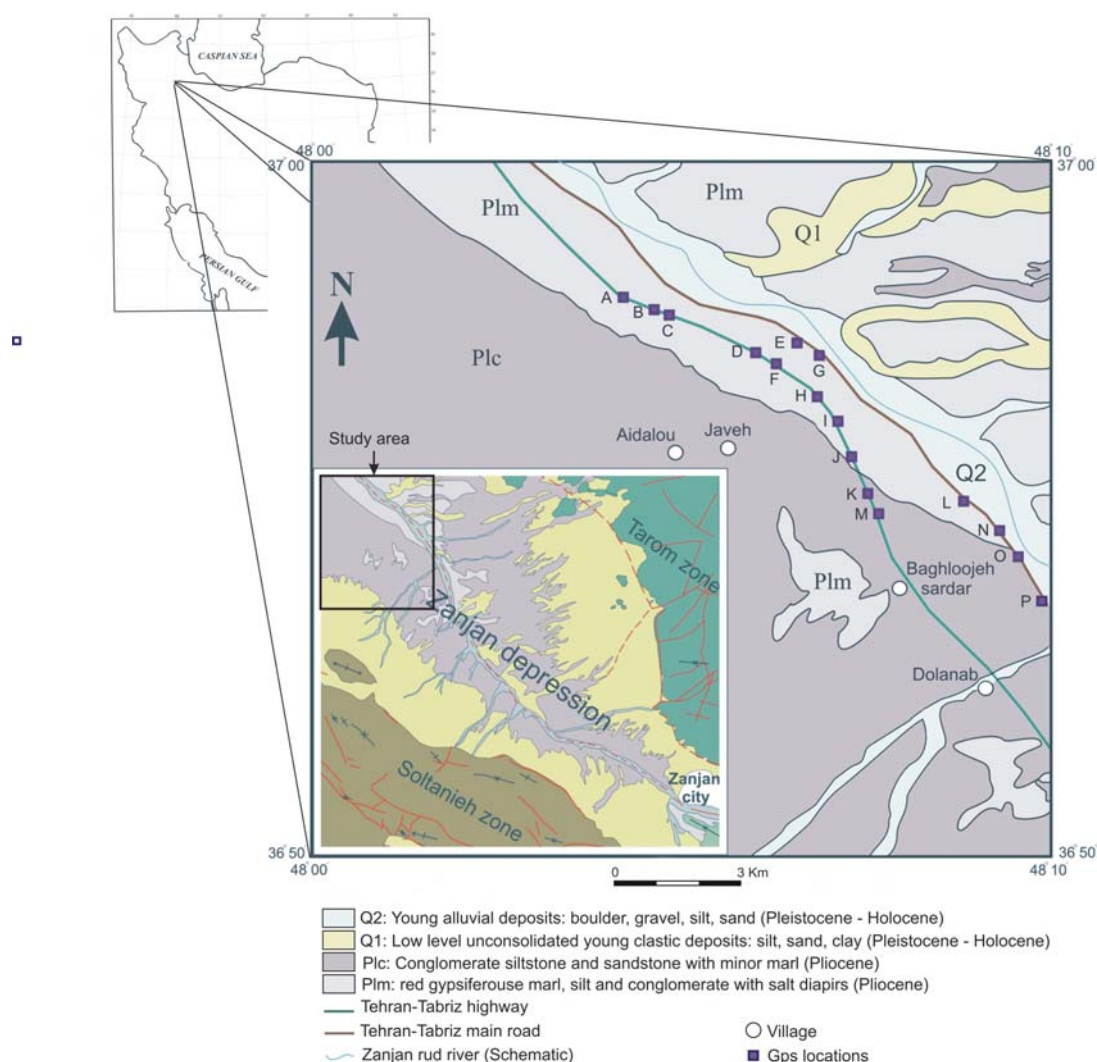
همه لایه‌های جابه‌جا شده در منطقه کاملاً افقی‌اند و هیچ چیز خوردگی محسوسی را تحمل نکرده‌اند، لذا

فرونشست زنجان، حوضه باریک و ممتدی در غرب زنجان است که در راستای شمال غرب-جنوب شرق کشیده شده است. این فرونشست پهنه‌های کوهستانی طارم و سلطانیه در شمال شرقی و جنوب غربی را از هم جدا می‌کند و در واقع جزئی از پهنه ایران مرکزی در شمال غربی ایران است (شکل ۱).

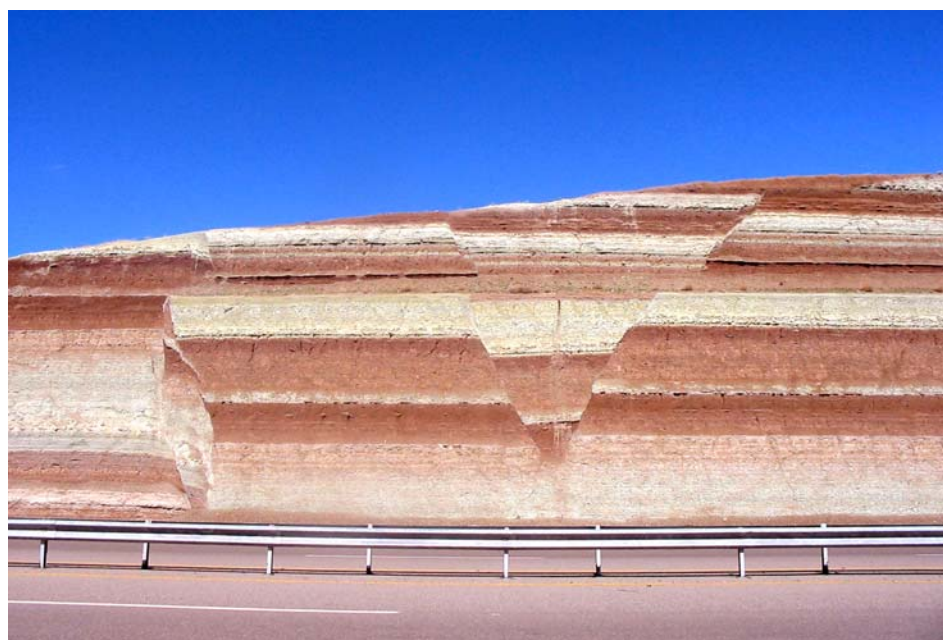
گستره بروزند ساختار گسلش عادی در طول مسیر جاده و نیز آزادراه زنجان-میانه در ۴۵ کیلومتری شمال غرب زنجان و به طول تقریبی ۱۶ کیلومتر مشاهده می‌شود. رخمنون این گسل‌ها در محدوده مشخصی به وسعت چند کیلومتر مربع به صورت محلی است. این گسل‌ها نهشته‌های افقی پلیوسن-کواترنری را قطع کرده‌اند. این نهشته‌ها اکثراً از جنس رس، مارن و سیلتاند و به دلیل افقی بودن لایه‌ها و تنوع رنگ، ساختارهای بسیار زیبا و جالبی از گسلش عادی را در محل بریدگی‌ها بهویژه در طول مسیر جاده قدیم و آزادراه جدید زنجان-

لذا در نهایت از گسل‌هایی استفاده شده است که به کمک رشته‌ها و پله‌های روی صفحه گسل و بهویژه شکستگی‌های کنار گسل هیچ‌گونه تردیدی در تشخیص سازوکار گسل بوجود نیاید. محل برداشت گسل‌ها در یک محدوده مشخص صورت گرفت و موقعیت گسل‌ها نیز روی زمین با GPS تعیین شد.

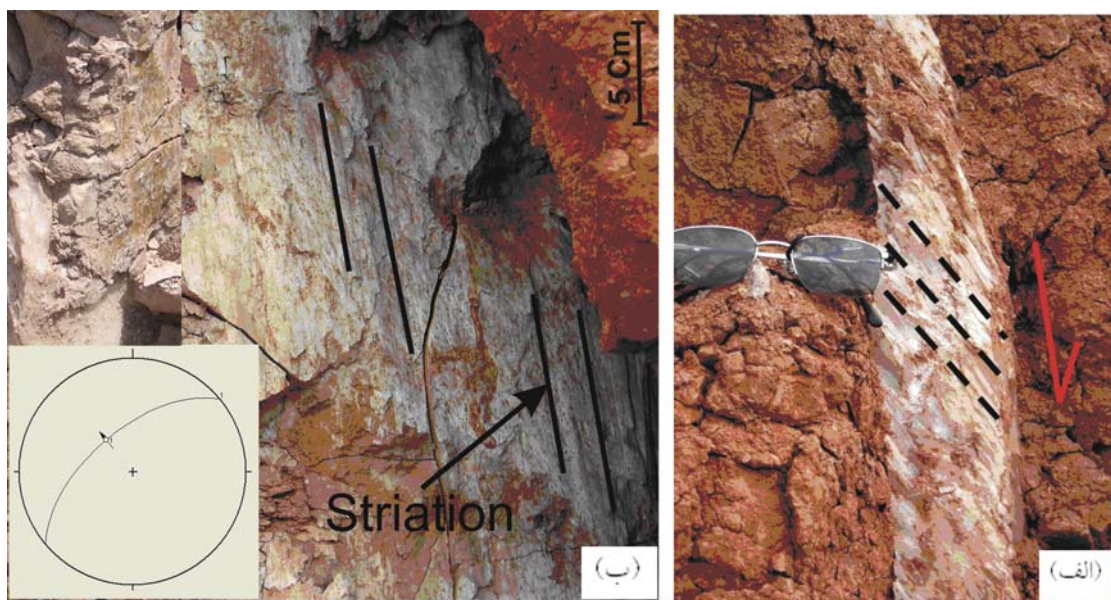
جایه‌جایی مشاهده شده با لغزش روی گسل هماهنگ است. از بین همه گسل‌های برداشت شده تعداد ۳۶ گسل عادی خشن‌دار که دارای بهترین کیفیت و از نظر سازوکار در شرایط بهینه‌ای بودند در تحلیل تنش دیرین مورد استفاده قرار گرفته است (جدول ۱). از آنجا که تشخیص سازوکار دقیق گسلش تعداد راه حل‌های تناسور تنش دیرین را کاهش می‌دهد،



شکل ۱. نقشه زمین‌شناسی منطقه رخنمون گسل‌ها (برگرفته از نقشه زمین‌شناسی با مقیاس ۱/۱۰۰۰۰ زنجان، سازمان زمین‌شناسی کشور)، محل‌های اندازه‌گیری داده‌های گسلی با حروف بزرگ لاتینی نشان داده شده است. در گوشه پایین سمت چپ نقشه زمین‌شناسی زنجان پهنه‌بندی ساختاری نشان داده شده است.



شکل ۲. گسل‌های عادی لایه‌های جوان پلیوسن-کواترنری را قطع و جابه‌جا کرده‌اند. مسیر آزادراه زنجان-میانه، دید به سمت شمال شرق.



شکل ۳. (الف) رشد جهت یافته ژیپس در سطح گسل، دید به سمت شمال غرب، (ب) خطوط خش در سطح گسل، دید به سمت جنوب غرب.

جدول ۱. داده‌های گسلی و موقعیت خش لغزش‌ها.

شماره	جهت شیب صفحه گسلی (درجه)	شیب صفحه گسلی (درجه)	روند خش خط (درجه)	میل خش خط (درجه)	محل برونزد گسلی
1	340	70	340	70	A*
2	325	55	325	55	A
3	315	50	315	50	A
4	340	60	340	60	A
5	325	65	325	65	B
6	160	80	160	80	B
7	180	64	180	64	B
8	170	80	170	80	C
9	340	65	340	65	C
10	338	68	338	68	C
11	338	70	338	70	C
12	150	70	150	70	C
13	320	60	320	60	C
14	155	60	155	60	E
15	355	70	355	70	F
16	330	65	330	65	G
17	155	75	155	75	G
18	150	77	150	77	G
19	347	65	347	65	H
20	187	60	187	60	H
22	180	70	180	70	I
23	175	55	175	55	J
24	25	65	25	65	J
25	205	48	205	48	J
26	170	60	170	60	K
27	220	55	220	55	L
28	210	65	210	65	M
29	210	60	210	60	M
30	180	62	180	62	N
31	165	56	165	56	O
32	335	65	335	65	O
33	160	55	160	55	P
34	180	64	180	64	P
35	160	65	160	65	P
36	160	65	160	65	P

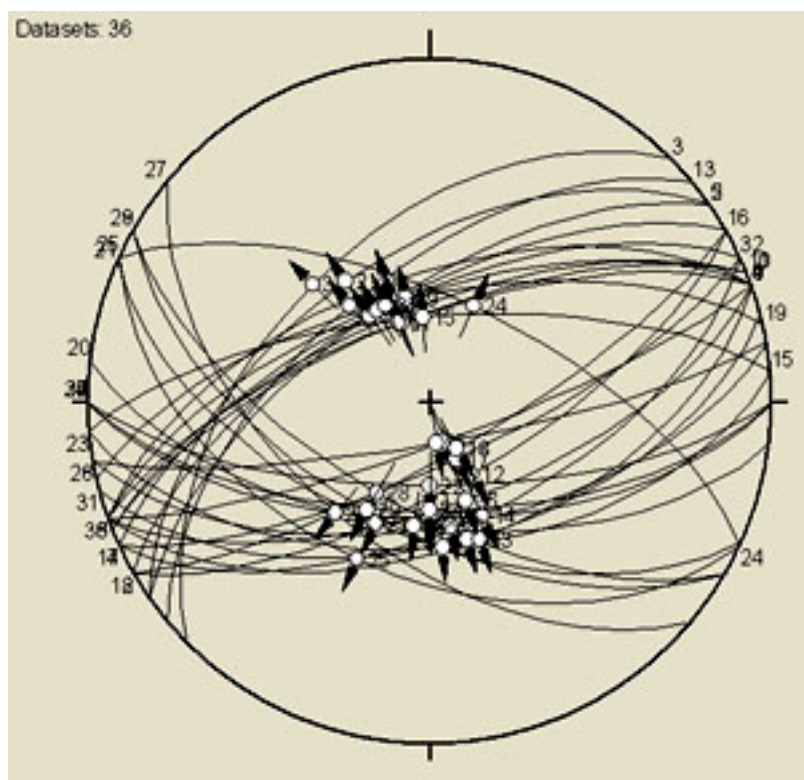
*حروف بزرگ لاتین محل برداشت نمونه‌ها را با توجه به شکل ۱ نشان می‌دهد.

همگن باشد و حرکت یک گسل تأثیری روی گسل‌های دیگر نداشته باشد، میدان تنش نیز در حین فعالیت گسل‌ها یکنواخت باشد. با توجه به اینکه در بهترین شرایط عملی همواره اندازه‌گیری‌ها دارای کمی خطأ است و امکان دارد خش اندازه‌گیری شده دقیقاً روی صفحه گسل قرار نگیرد، در ابتدا تصحیحاتی در این زمینه صورت گرفت. از قطب صفحه گسل و خش گسل روی استریوونت دایره بزرگی عبور داده شد و محل تلاقی آن با گسل که در واقع تصویر اورتوگرافیک خش روی صفحه گسل بود درنقش وضعیت تصحیح شده خش در نظر گرفته شد (شکل ۴). داده‌های آماده شده با مهم‌ترین شیوه‌های موفق در تحلیل تنش دیرین مورد تجزیه و تحلیل قرار گرفت.

از آنجا که این گسل‌ها جوان‌اند و لایه‌های جوان پلیوسن-کواترنری را قطع کرده‌اند، دچار پیچیدگی‌های حاصل از دگر‌شکلی‌های بعدی نشده‌اند و در ارتباط با بررسی‌های تنش، بستر بسیار مناسبی جهت تحلیل تنش دیرین‌اند (شکل‌های ۲ و ۸).

۳ برداشت داده‌ها

حدود ۷۳ گسل خشن‌دار در منطقه مورد بررسی در ابتدا برداشت شد. از بین مجموع این داده‌ها ۳۶ داده (جدول ۱) که از مفروضات اولیه تحلیل تنش دیرین تبعیت می‌کردند و از نظر کیفیت هم در شرایط بهینه‌ای بودند استخراج شد. این مفروضات بیان می‌دارد که توزیع نمونه‌ها باستی



شکل ۴. تصویر استریوگرافیک داده‌های گسلی، پیکان‌ها جهت حرکت فرادیواره را نسبت به فرو Dionar نشان می‌دهد.

می‌کند در عکس بیشینه اختلاف تنش اصلی ضرب می‌کیم (ریتز، ۱۹۹۴). در منطقه مورد بررسی از آنجا که همه گسل‌های برداشت شده عادی‌اند، لذا براساس نظریه آندرسون $\sigma_z = \sigma_1$ خواهد بود (در این نوشتار σ_1 بیشینه تنش تراکمی اصلی، σ_2 تنش تراکمی اصلی متوسط و σ_3 کوچک‌ترین تنش تراکمی اصلی و $\sigma_x \geq \sigma_y$ است). با اعمال عملیات مذبور می‌توان نوشت:

$$\sigma = \begin{bmatrix} \frac{\sigma_x - \sigma_z}{\sigma_1 - \sigma_3} & 0 & 0 \\ 0 & \frac{\sigma_y - \sigma_z}{\sigma_1 - \sigma_3} & 0 \\ 0 & 0 & 0 \end{bmatrix} \quad (3)$$

در ماتریس فوق نسبت تفاوت تنش نشان‌دهنده شکل بیضوی میدان تنش است. اگر در حالت استاندارد شکل میدان را به صورت $\Phi = \frac{\sigma_2 - \sigma_3}{\sigma_1 - \sigma_3}$ تعریف کنیم (بیشپ، ۱۹۶۶)، می‌توان نتیجه گرفت:

$$\sigma = \begin{bmatrix} -(1-\Phi) & 0 & 0 \\ 0 & 1 & 0 \\ 0 & 0 & 0 \end{bmatrix} \quad (4)$$

پس می‌توان به‌جای شش مؤلفه تانسور تنش در حالت تعادل تانسور ساده شده‌تری با چهار مؤلفه شامل موقعیت محورهای اصلی تنش و شکل میدان را برای بررسی حالت تنش مطرح کرد. چنین تانسوری را تانسور تنش تقلیل یافته (reduced stress tensor) می‌گویند که در عمل برای بررسی تنش دیرین نزدیک‌ترین تانسور به تانسور واقعی تنش است. به‌منظور تحلیل تنش دیرین مجموعه گسل‌های خشن‌دار بهترین ابزار به‌حساب می‌آیند، زیرا وجود خود شکستگی نشان‌دهنده چیره شدن مؤلفه تنش به چسبندگی سنگ، وجود خط خش و جهت آن به‌ترتیب مؤید فائق آمدن تنش برشی بیشینه بر مقاومت برشی و

۴ روش‌های تحلیل تنش دیرین

در دستگاه مختصات فیزیکی x, y, z محور z را قائم رو به پایین، محور x و y را افقی در نظر می‌گیریم. تانسور تنش σ در حال تعادل در این دستگاه دارای شش مؤلفه است که حالت تنش را به‌طور کامل بیان می‌کند:

$$\sigma = \begin{bmatrix} \sigma_{xx} & \tau_{xy} & \tau_{xz} \\ \tau_{yz} & \sigma_{yy} & \tau_{yz} \\ \tau_{zx} & \tau_{zy} & \sigma_{zz} \end{bmatrix} \quad (1)$$

به‌کار بردن تانسور فوق در مورد تحلیل تنش دیرین در گذشته زمین‌شناسی به دلیل ناتوانی محاسبه مقادیر مؤلفه‌های تنش تقریباً غیرممکن است. در شرایطی که پارامترهای مکانیکی سنگ به اندازه کافی در اختیار باشد تا حدی امکان محاسبه مؤلفه‌های تنش ممکن می‌شود (انژلیه، ۱۹۸۹). اخیراً به‌کمک ماکل دینامیکی کلسلیت در حکم ابزار اندازه‌گیری چشم‌انداز امید بخشی برای محاسبه تنش دیرین مطرح شده است که فعلاً مراحل جنبی خود را طی می‌کند (گنزاوس و همکاران، ۲۰۰۶)، از آنجا که با تقریب خوبی در زمان فعالیت گسل‌ها یکی از تنش‌های اصلی قائم است (اندرسون، ۱۹۵۱)، اگر $\sigma_y \geq \sigma_x$ و $\sigma_y \geq \sigma_z$ باشد، تانسور تنش را می‌توان به صورت ماتریس زیر بیان کرد:

$$\sigma = \begin{bmatrix} \sigma_x & 0 & 0 \\ 0 & \sigma_y & 0 \\ 0 & 0 & \sigma_z \end{bmatrix} \quad (2)$$

تنش غیرانحرافی روی مقدار، موقعیت تنش برشی بیشینه و شکل میدان تنش بی‌تأثیر است و همچنین ضرب یک عدد در مؤلفه‌های تنش هیچ تأثیری روی موقعیت تنش برشی بیشینه و شکل هندسی میدان ندارد (انژلیه، ۱۹۹۴)، لذا می‌توان بر این اساس عملیات ماتریسی زیر را اجرا کرد: عناصر داخل ماتریس را از تنش اصلی قائم کسر

به این نکته اشاره می‌شود که در طراحی این روش، سازوکار گسلش مد نظر قرار نمی‌گیرد، لذا در نهایت دو تansور مکمل برای دو سامانهٔ تنش کششی و تراکمی ارائه می‌شود. با توجه به عوارض زمین‌شناسی می‌توان نوع تansور را انتخاب کرد. در منطقهٔ مورد بررسی با توجه به گسترش فراوان گسل‌های نرمال رژیم تنشی از نوع کششی حاکم است، لذا تansور تنش تقلیل یافته به صورت زیر انتخاب می‌شود:

σ_1 :

$\sigma_2 = 200,00$

$\sigma_3 = 110,00$

$\Phi = 0.0$

به این ترتیب بزرگ‌ترین تنش تراکمی قائم و شکل میدان کاملاً دوکی شکل است. شکل میدان تنش یکی از عامل‌های مهم در کنترل موقعیت تنش برشی بیشینه است (انژلیه، ۱۹۹۴). در منطقهٔ مورد بررسی چون مقدار کوچک‌ترین تنش تراکمی با تنش تراکمی متوسط مساوی است، موقعیت آنها در مقطع دایره‌ای شناور است و موقعیت تنش برشی حداقل با موقعیت بزرگ‌ترین تنش تراکمی کنترل می‌شود. واضح است که تحت این شرایط، گسل‌های نرمال نمی‌توانند دارای مؤلفه راستالغز باشند.

۴-۲ روش وارون‌سازی

هر تansور تنش S دارای دو مؤلفه است:

- یک مؤلفه تنش همسان‌گرد (isotropic) معادل تنش لیتواستاتیک (تنش غیر انحرافی) یا تنش میانگین βI (تنش لیتواستاتیک، I ماتریس واحد).

- یک مؤلفه تنش انحرافی (deviatoric) αD (ثابت ماده و D تنش انحرافی).

با معلوم بودن α, β, D حالت تنش دقیقاً معلوم می‌شود. از آنجا که محاسبه مقادیر تنش رخ داده در گذشته، در حال حاضر تقریباً غیرممکن است، لذا در قالب

سازوکار گسلش است. نکته مهم در تحلیل تنش دیرین در دست داشتن معیاری است که براساس آن بتوان از درستی تansور به دست آمده اطمینان حاصل کرد. با اتکا به نظریه والاس (۱۹۵۹) و بات (۱۹۵۹) خط‌خش در راستای تنش برشی حداقل قرار می‌گیرد. این معیار بسیار خوبی است. ابتدا از راه محاسبه و حل تansور تنش به طور نظری موقعیت تنش برشی بیشینه تعیین می‌شود و سپس با موقعیت خش گسل برداشت شده روی زمین مورد مقایسه قرار می‌گیرد. این اختلاف زاویه، زاویه نابرازش (misfit angle) نامیده می‌شود (انژلیه، ۱۹۹۰). هر چه این زاویه کوچک‌تر باشد تansور به دست آمده به تansور واقعی نزدیک‌تر است. در عمل بیشتر پژوهشگران با توجه به سازوکار گسل، این زاویه را تا 30° درجه مورد قبول قرار داده‌اند.

۱-۴ روش جستجوی شبکه‌ای (grid search method) در این روش به کمک رایانه به آزمیوت روند σ_1 از صفر تا 360° درجه و به میل آن از صفر تا 90° درجه عدد داده می‌شود و به طور همزمان به ریک σ_2 روی صفحه‌ای که قطب آن σ_1 باشد نیز از صفر تا 180° درجه عدد داده می‌شود (رامسای، ۲۰۰۰). برای مشخص کردن شکل میدان هم به Φ از صفر تا 1 عدد داده می‌شود. بنابراین تعداد بسیار زیادی تansور تنش تقلیل یافته به طور محاسبه‌ای تولید و زاویه نابرازش برای هریک تعیین و ذخیره می‌شود. واضح است تansوری که دارای کمترین زاویه نابرازش باشد در حکم بهترین تansور معرفی می‌شود. در منطقه مورد بررسی نتایج حاصل از روش جستجوی شبکه به صورت زیر اعلام می‌شود:

Tensor 1

$\Sigma_3: 245/90$
 $\Sigma_2: 200/00$
 $\Sigma_1: 110/00$
 $\Phi = 1.0$

Tensor 2

$\Sigma_3: 110/00$
 $\Sigma_2: 200/00$
 $\Sigma_1: 245/90$
 $\Phi = 0.0$

$$\sigma_1 = 162/90$$

$$\sigma_2 = 38/00$$

$$\sigma_3 = 127/00$$

به منظور تکمیل ساختن عضوهای ماتریس تنش دیرین تقلیل یافته با رسم دایره موهر بدون مقیاس، شکل میدان تنش معادل را نیز تعیین می‌کنیم.

۴-۴ دایره موهر بدون مقیاس

از آنجا که در حال حاضر مقادیر تنش‌های اصلی رخ داده در گذشته تقریباً غیر قابل محاسبه است، لذا می‌توان از رابطه نرمال کردن مؤلفه‌های تنش برای به دست آوردن مؤلفه تنش نرمال نسبی (σ_{nr}) و مؤلفه تنش برشی نسبی (τ_r) استفاده کرد (رامسای، ۲۰۰۰).

$$\sigma_{nr} = \frac{\sigma_n - \sigma_1}{\sigma_1 - \sigma_3} = (\Phi m^2 + n^2) \quad (8)$$

$$\begin{aligned} \tau_r^2 &= \frac{\tau}{\sigma_1 - \sigma_3} = \Phi^2 l^2 - m^2 + \\ &(1 - \Phi)^2 m^2 n^2 + n^2 l^2 \end{aligned} \quad (9)$$

در معادلات فوق l, m, n به ترتیب کسینوس‌های هادی $\sigma_1, \sigma_2, \sigma_3$ قطب صفحه گسل در دستگاه مختصات است. پس از رسم محورهای اصلی تنش دیرین و قطب هر صفحه گسل روی استریوونت و محاسبه کسینوس‌های هادی آن و به کمک معادلات فوق در دستگاه مختصات دکارتی، تنش نرمال نسبی و تنش برشی نسبی را پیدا می‌کنیم. در منطقه مورد بررسی همه نقاط پیدا می‌شود و سپس سه دایره را طوری رسم می‌کنیم تا بهترین پوشش را به وجود آورد (شکل ۶).

همه داده‌ها روی دایره‌ای با قطر بیشترین اختلاف تنش مرکز شده است که نشان می‌دهد میدان تنش دوکی شکل و در نتیجه $\Phi = 0$ است (رامسای، ۲۰۰۰).

تانسور تنش تقلیل یافته (T) امکان بررسی تنش وجود دارد. در تانسور تنش تقلیل یافته ثابت‌های α و β کاملاً دلخواه انتخاب می‌شوند زیرا موقعیت محورهای اصلی تنش و جهت آنها نه با جمع کردن با میانگین تنش و نه با ضرب کردن در تانسور تنش، هیچ تغییری نخواهد کرد (اژلیه و همکاران، ۱۹۸۲) مقادیر دلخواه را می‌توان با پیروی از اژلیه و گوگول (۱۹۷۹) به صورت زیر درنظر گرفت:

$$\begin{aligned} T_{11} + T_{22} + T_{33} &= 0 \quad \text{و} \\ T_{11}^2 + T_{22}^2 + T_{33}^2 &= \frac{3}{2} \end{aligned} \quad (5)$$

در روابط فوق محورهای x، y و z به ترتیب با محورهای x، y و z مرتبط است. یکی از راه حل‌ها به صورت زیر است (اژلیه، ۱۹۹۰):

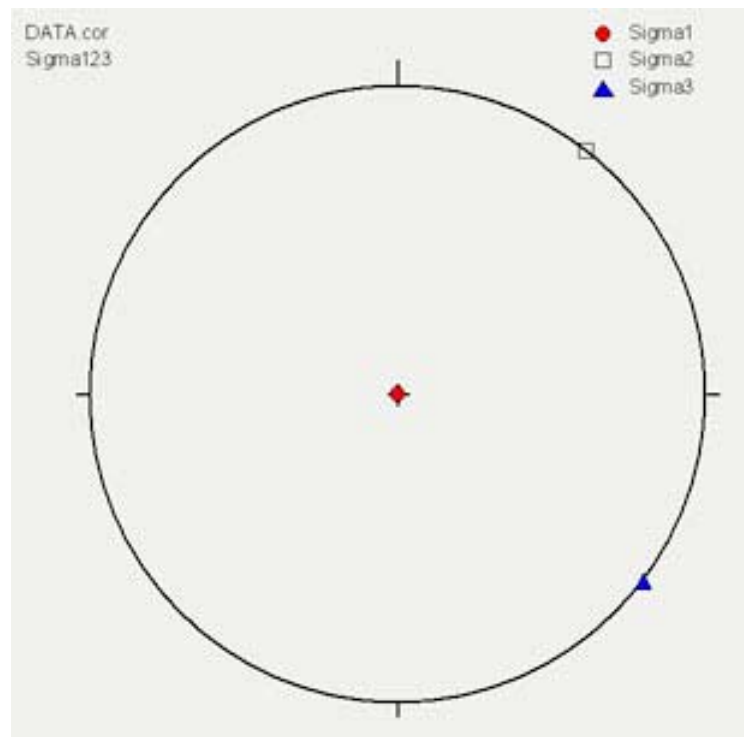
$$\begin{aligned} T_{11} &= \cos[x] \quad \text{و} \quad T_{33} = \cos\left[x + \frac{4\pi}{3}\right] \quad \text{و} \\ T_{22} &= \cos\left[x + \frac{2\pi}{3}\right] \end{aligned} \quad (6)$$

با انتخاب مناسب α و β در شرایط فوق می‌توان تانسور تنش را به صورت تقلیل یافته به شکل زیر نمایش داد:

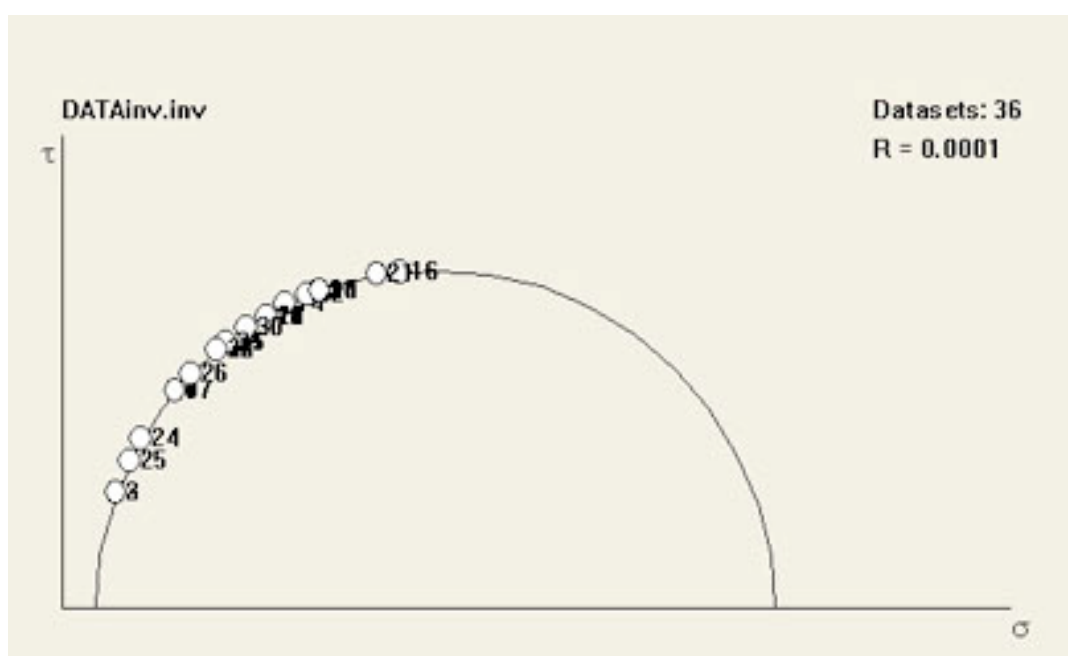
$$T = \begin{bmatrix} \cos[x] & a & b \\ a & \cos\left[x + \frac{2\pi}{3}\right] & c \\ b & c & \cos\left[x + \frac{4\pi}{3}\right] \end{bmatrix} \quad (7)$$

پارامترهای تانسور تنش تقلیل یافته با داشتن مجموعه‌ای از گسل‌های خشدار قابل بررسی است. روش فوق در مورد گسل‌های خشدار منطقه مورد بررسی به کار برده شد (شکل ۵).

همان‌طور که در شکل ۵ مشاهده می‌شود موقعیت محورهای اصلی تنش به صورت زیر اعلام می‌شود:



شکل ۵. تصویر استریوگرافیک محورهای اصلی تنش براساس روش وارونسازی.



شکل ۶. دایره موهر بدون مقیاس برای دادههای منطقه مورد بررسی.

$$\bar{S} = \frac{\bar{R}}{|\bar{R}|} \quad (11)$$

$$R\% = \frac{2|\bar{R}| - n}{n} * 100 \quad (12)$$

در روابط فوق $\Sigma xi, \Sigma yi, \Sigma zi$ به ترتیب مجموع کسینوس‌های هادی قطب‌های گسل با دستگاه مختصات x, y, z است. اگر محور عرض‌ها بر حسب پارامتر $|\bar{R}|$ و محور طول‌ها بر حسب تغییرات زاویه اصطکاک داخلی مدرج شود نقطه ماکریموم نمودارهای حاصل زاویه اصطکاک داخلی توده‌سنگ در زمان فعالیت سامانه گسلی را نشان می‌دهد (اسپرنس و همکاران، ۱۹۹۳). بر این اساس، در منطقه مورد بررسی زاویه اصطکاک داخلی ۳۰ درجه به دست آمد (شکل ۹).

با توجه به زاویه اصطکاک داخلی متوسط برای توده‌سنگ و در نظر گرفتن نوع سنگ‌های منطقه مورد بررسی تک‌تک گسل‌ها می‌توانند نوسان نسبتاً وسیعی داشته باشند. با توجه به نتیجه به دست آمده و با توجه به شکل ۸ به وضوح می‌توان دریافت که اکثریت قریب به اتفاق گسل‌های منطقه در شرایط گسل‌های مزدوج قرار می‌گیرند. به این نکته مهم نیز اشاره می‌شود که در مورد این گونه گسل‌ها، محور تنش اصلی متوسط روی صفحه گسل قرار دارد و این موضوع به خوبی روی دایره موهر مشاهده می‌شود (شکل ۶).

۴-۶ روش آرایش خط خش

بردارهای ویژه ماتریس موقعیت خط خش‌های گسلی برای تعیین موقعیت محورهای اصلی تنش و مقادیر ویژه وابسته به آن بردارهای ویژه برای تعیین شکل میدان تنش به کاربرده می‌شود (والبرچر، ۱۹۹۶). به کمک فرمول بات (بات، ۱۹۵۹)، طرحی از پراکندگی خطوط لغزش به کمک رایانه بر حسب شکل میدان‌های گوناگون رسم

۴-۴ روش تعیین موقعیت محورهای فشار (P) و محورهای کشش (T)

در این روش صفحه گسل و قطب گسل را روی استریوونت رسم می‌کنیم و سپس با رسم دایره بزرگی که از قطب گسل و خشن گسلش عبور می‌کند، موقعیت محور P و T را مشخص می‌سازیم.

(مارت و آلماندینگر، ۱۹۹۰) در منطقه مورد بررسی توزیع محورهای فشار و کشش با این روش تعیین شد (شکل ۷).

همان‌طور که در تصویر شکل ۷ مشاهده می‌شود موقعیت محورهای اصلی کرنش افزایشی به صورت میانگین‌برداری در منطقه مورد بررسی به صورت زیر اعلام می‌شود:

P: ۳۱۵/۸۹

T: ۱۶۹/۰۱

B: ۰۷۹/۰۰

۵-۴ گسل‌های مزدوج

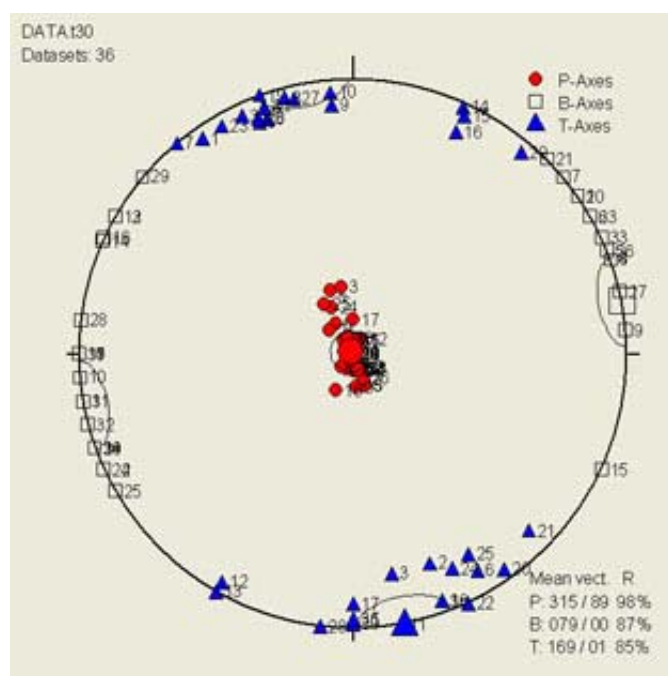
شکل ظاهری بسیاری از گسل‌های مشاهده شده در منطقه به صورت مزدوج (conjugate faults) است (شکل ۸).

به منظور اثبات مزدوج بودن گسل‌های منطقه، ابتدا زاویه اصطکاک داخلی توده‌سنگ در حین فعالیت سامانه گسل‌ها مورد بررسی قرار گرفت. سپس پارامتر R% تعیین شد. این عدد توزیع داده‌ها را در فضای بین صفر تا ۱۰۰٪ نشان می‌دهد (صفر پراکندگی تصادفی و ۱۰۰٪ معرف پراکندگی خوش‌های است). طول جمع برداری $|\bar{R}|$ و موقعیت بردار میانگین \bar{S} از روابط زیر قابل محاسبه است (اسپرنس و همکاران، ۱۹۹۳):

$$|\bar{R}| = \sqrt{(\Sigma xi)^2 + (\Sigma yi)^2 + (\Sigma zi)^2} \quad (10)$$

داده‌های گسلی منطقه مورد بررسی تعمیم داده شد که نتایج آن به شکل تصویر استریوگرافیک ارائه شده است (شکل ۱۰).

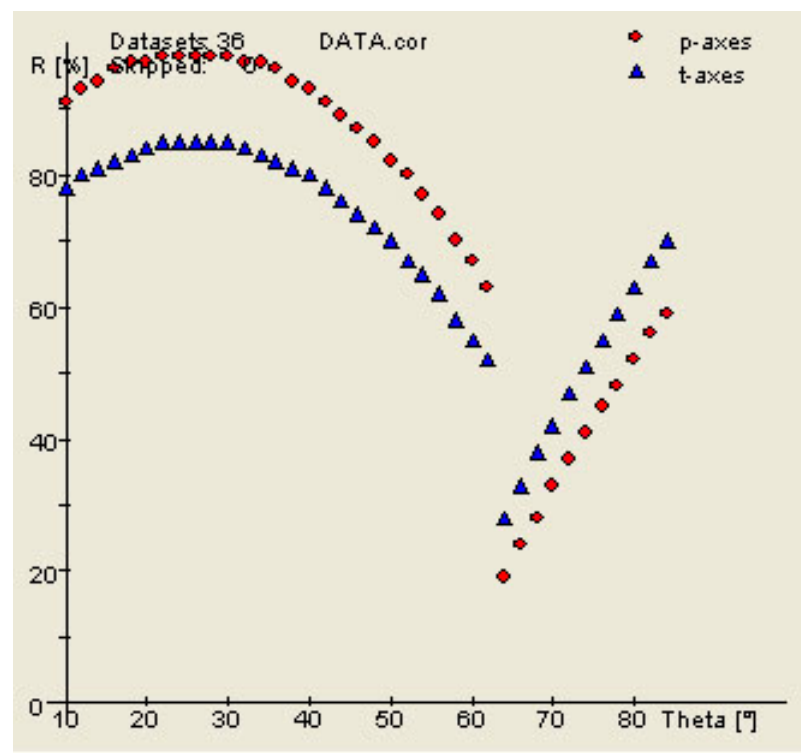
می‌شود و با موقعیت‌های اندازه‌گیری شده همان کمیت‌ها مورد مقایسه قرار می‌گیرد. زاویه بین خشن برداشت شده و مؤلفه تنش برشی بیشینه در شرایطی که به حداقل ممکن بررسد بهترین حالت را ارائه می‌کند. این روش روی



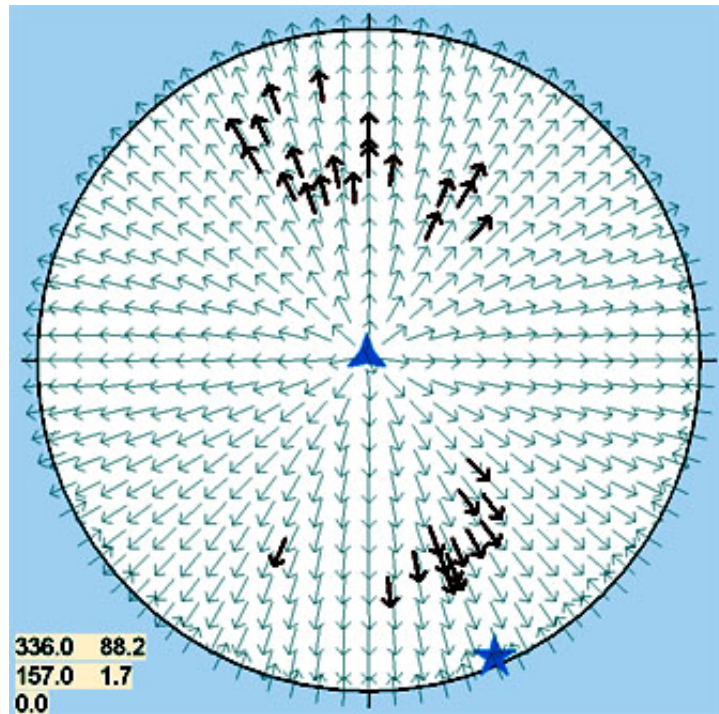
شکل ۷. تصویر استریوگرافیک محورهای فشار و کشش.



شکل ۸ گسل‌های مزدوج، مسیر آزادراه زنجان-میانه، دید به سمت جنوب شرق.



شکل ۹. نمودار تغییرات زاویه اصطکاک داخلی بر حسب R%



شکل ۱۰. تصویر استریوگرافیک خط خش‌های گسلی برداشت شده (پیکان‌های پرنگ) و خط خش‌های محاسبه شده (پیکان‌های کمرنگ) در منطقه مورد بررسی.

استریوگرام سمت چپ و با یک موقعیت، محور ۵۱ را نشان می‌دهد. به طور همزمان روی استریونت دوم دایره بزرگی ظاهر می‌شود که نشانه‌های همنگ با استریونت قبلی دارای تمرکزی معرف موقعیت محور ۵۳ هستند. از آنجا که شکل میدان (Φ) بین صفر تا ده تغییر می‌کند این فاصله به یازده قسمت مساوی با فاصله یک دهم یکدیگر تقسیم شده است، یعنی هر قسمت رنگ نشان‌دهنده تغییر یک دهم شکل میدان است. رنگ بنفس نمایش گر $\Phi = 0$ (بیضوی دوکی شکل) و رنگ سرخ نمایش گر $\Phi = 1$ (بیضوی کلوچه‌ای شکل) است. در منطقه مورد بررسی برای با به کارگیری روش پیش‌گفته، موقعیت محورهای اصلی و شکل میدان تعیین شد (شکل ۱۱).

همان‌طور که در شکل ۱۱ مشاهده می‌شود عضوهای تانسور تنش تقلیل یافته به صورت زیر اعلام می‌شود:

$$\Phi = ۳۴۹/۸۶, \sigma_1 = ۱۶۴/۴, \sigma_2 = ۳۴۹/۸۶$$

شکل میدان، دوکی است و منطقه مورد بررسی بیش از یک فاز تنش را پشت سر نگذاشته است. نکته بسیار مهم که در این پژوهش می‌بایستی به آن توجه شود زاویه بسیار پایین نوسانات بسیار کم زاویه نابرازش است (شکل ۱۲).

همان‌طور که در شکل ۱۲ مشاهده می‌شود، نوسانات زاویه نابرازش بین صفر تا $3/9$ درجه، و میانگین حسابی آن $1/34$ درجه است. به طور عملی این زاویه را پژوهشگران گوناگون تا 30 درجه مورد قبول قرار داده‌اند. این نشان‌دهنده حالت بسیار آرمانی منطقه مورد بررسی است.

۵ نتیجه‌گیری

به کمک روش‌های کلاسیک وارون‌سازی و روش‌های نوین، عضوهای چهارگانه ماتریس تنش تقلیل یافته در

در این روش می‌توان پس از به دست آوردن بهترین وضعیت تانسور تنش، عضوهای ماتریس تنش تقلیل یافته را اعلام کرد. موقعیت محورهای اصلی تنش دیرین و شکل میدان تنش در منطقه مورد بررسی به صورت زیر اعلام می‌شود:

$$\Phi = ۰/۰, \sigma_1 = ۳۳۶/۸۸, \sigma_2 = ۱۵۷/۲$$

۷-۴ روش وارون‌سازی چندمرتبه‌ای

می‌توان همه گسل‌هایی را که دارای عضوهای یکسانی در فضای چهاربعدی تانسور تنش تقلیل یافته هستند، در حکم یک فاز تنش در نظر گرفت. به عبارت دیگر هرگاه موقعیت محورهای اصلی تنش و شکل میدان تنش در فضای چهاربعدی تانسور مذبور حالت خوش‌های داشته باشند، به مثابه یک فاز تلقی می‌شوند.

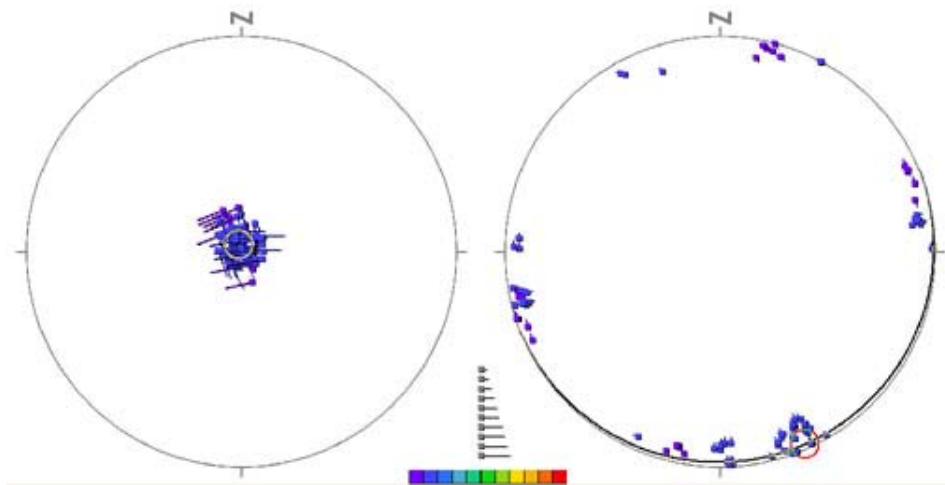
مجموعه گسل‌های برداشت شده روی زمین در طول زمان تحت تأثیر فازهای متفاوت تنش قرار می‌گیرد، به عبارت دیگر داده‌ها ناهمگانه و لازم است تا به طریقی فازها از یکدیگر تفکیک شوند. اگر در یک مجموعه گسل برداشت شده، N گسل وجود داشته باشد و بخواهیم آن را به K زیرمجموعه تقسیم کنیم، تعداد راه حل‌های موجود از رابطه زیر تبعیت خواهد کرد (یاماجی، ۲۰۰۰):

$$NCK = \frac{N!}{K!(N-K)!} \quad (13)$$

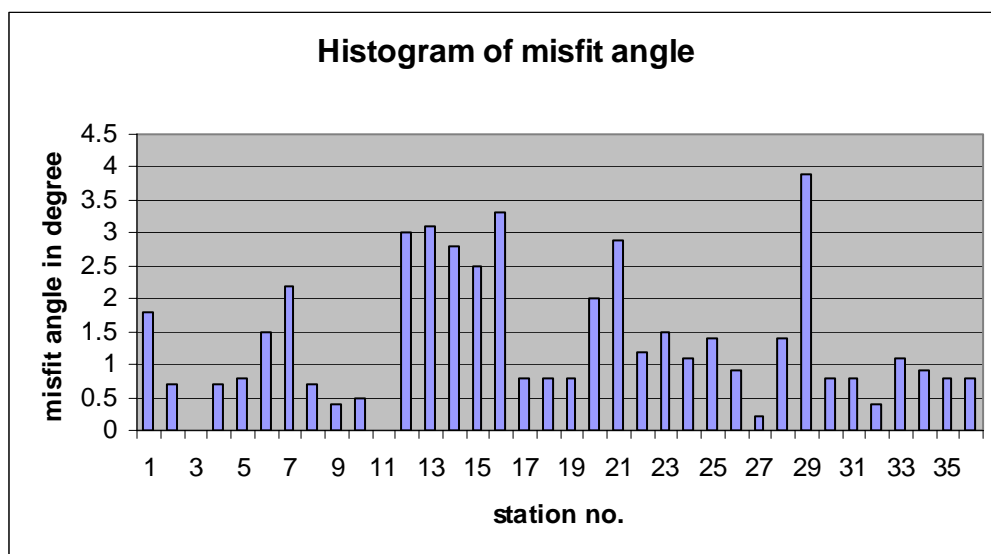
پس ابتدا داده‌های گسلی خشن دار را برای تعیین موقعیت محورهای اصلی تنش و شکل میدان با یکی از روش‌های یاد شده حل می‌کنیم، داده‌هایی که یک وضعیت خوش‌های به خود می‌گیرند در حکم یک زیرگروه دارای یک فاز مشخص، از بقیه داده‌ها تفکیک می‌شوند. برای اینکه به طور همزمان موقعیت محورها و شکل میدان لحاظ شود، راه حل‌ها را به شکل نشانه‌های میله شکل روی دو استریونت و با طیف رنگ‌های مرئی نیوتونی می‌توان نمایش داد (یاماجی، ۲۰۰۰). داده‌های خوش‌های در

مقطع دایره‌ای موقعیت تصادفی به‌خود می‌گیرند. براساس نتایج به‌دست آمده، منطقه بیش از یک فاز تنشی پشت‌سر نگذاشته است. با رسم دایره‌های موهر بدون مقیاس و با توجه به بررسی‌های سینماتیک معلوم شد که اکثریت قریب به اتفاق گسل‌های منطقه در شرایط تنشی گسل‌های مزدوج قرار دارند.

منطقه تحقیق مورد بررسی و مقایسه قرار گرفت و بیشینه تنش تراکمی اصلی با موقعیت قائم و کوچک‌ترین تنش تراکمی با موقعیت SSE و میل صفر تعیین شد. شکل میدان تنش دیرین در همه روش‌ها دوکی شکل شناسایی شد و این نشان می‌دهد که دگربریختی‌های منطقه برپایه موقعیت $\sigma 1$ کنترل شده است و دو تنش اصلی دیگر روی



شکل ۱۱. استریوگرام سمت چپ موقعیت محور $\sigma 1$ و استریوگرام سمت راست موقعیت محور $\sigma 3$ را نشان می‌دهد (نشانه دایره‌ای). طیف رنگین تغییرات شکل میدان از دوکی (رنگ بنفش) به کلوچه‌ای (رنگ سرخ) را نشان می‌دهد.



شکل ۱۲. نمودار ستونی نوسانات زاویه نابرازش.

- Wallace, R. E., 1951, Geometry of shearing stress and relation to faulting. *J. Geol.*, **59**, 118-130.
- Wallbrecher, E., 1986, *Tektonisch und Gefugeanalytische Arbeitsweisen. graphische, Rechnerische und Statistische Verfahren*. 244 S.-220 Abb., Enke. Stuttgart.
- Wallbrecher, et al. 1996, Estimation of the shape factor of a paleostress ellipsoid by comparison with theoretical slickenside pattern and application of an eigenvalue method, *Tectonophysics*, **255**, 177-187.
- Yamaji, A., 2000, The multiple inverse method applied to mesoscale faults in midquaternary fore-arc sediments near the triple junction off central Japan, *J. Struct. Geol.*, **22**, 429-440.

منابع

- سازمان زمین‌شناسی ایران، ۱۳۸۳، نقشه زمین‌شناسی ۱/۱۰۰۰۰ زنجان، زمین‌شناسی توسط: حاجیان، زاهدی و همکاران.
- Anderson, E. M., 1951, The Dynamic of faulting and dyke formation with application to Britain. Oliver & Boyd, Edinburgh, UK.
- Angelier, J., 1989, From orientation to magnitudes in paleostress determination using fault slip data, *J. Struct. Geol.*, **11**(1/2) 37.
- Angelier, J., 1990, Inversion of field data in fault tectonics to obtain the regional stress. A new rapid method by analytical means, *Geophys. J. Int.*, **103**, 363-376.
- Angelier, J., 1994, Continental deformation, edited by Hancock, P. L, Chap. 4 Pergamon Press.
- Angelier, J., and Goguel, J., 1979, Su rune methode simple de determination des axes Principaux des contraintes pour une population de failles, *CR, Acad. Sci. Paris.*, **288**, 307-310.
- Angelier, J., et al, 1982, Inversion of field data in fault tectonics to obtain the regional stress-single phase fault population: a new method of computing the stress tensor. *Geophys. J. Roy. Astron. Soc.*, **69**, 607-621.
- Bishop, A. W., 1966, The strength of soils as engineering material. *Geotechnique*, **16**, 91-128.
- Bott, M. J., 1959, The mechanics of oblique slip faulting. *Geol. Mag.*, **96**, 109-117
- Gonzalez. J. M.-Casado, et al, 2006, Calcite e-twins markers of recent tectonics: insight from quaternary karstic deposits from SE Spain, *J. Struct. Geol.*, **28**, 1084-1092.
- Marret, R., and Allmendinger, R. W., 1990, Kinematic analysis of fault slip data, *J. Struct. Geol.*, **12**, 973-986.
- Ramsay, J. G., and Lisle, R. J., 2000, *The Techniques of Modern Structural Geology*, Vol. 3, Academic Press.
- Ritz, J. F., 1994, Determining the slip vector by graphical construction: Use of a simplified representation of the stress tensor, *J. Struct. Geol.*, **16**, 737-741.
- Sperner, B., Ratschbacher, IL. Ott, R., 1993, Fault strea analysis: A Turbo-Pascal Program package for graphical presentation and reduced stress tensor Calculation, *Comput. Geosci.*, **19** (9), 1361-1388.